



Efectos resonantes de neutrinos de Majorana en desintegraciones $\Delta L=2$ a cuatro cuerpos de hiperones.

Diego Portillo Sánchez

Departamento de Física, CINVESTAV

En colaboración con:

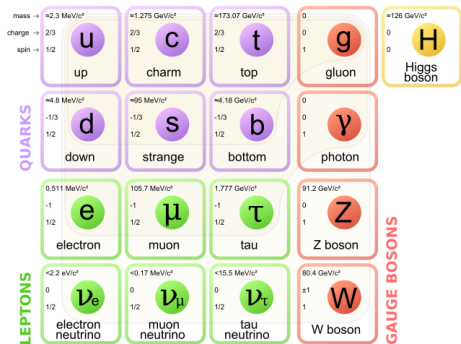
Dr. Gerardo Hernández Tomé

Dr. Genaro Toledo.

Taller “Más allá del modelo estándar y astropartículas”.
IF-UNAM 15 y 16 de marzo de 2023

- Introducción y motivación.
- Decaimiento a cuatro cuerpos de hiperones.
- Resumen.

Modelo estándar.



- Teoría de norma
 $SU(3)_c \times SU(2)_L \times U(1)_Y$

⇒ Simetrías accidentales:
 número leptónico...

⇒ Neutrinos sin masa.

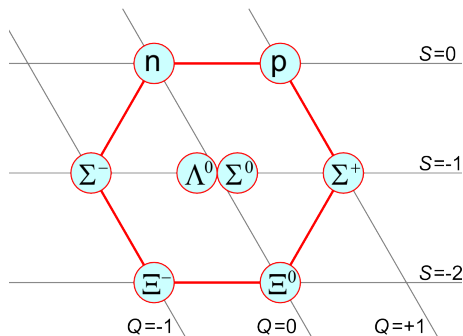
- Preguntas abiertas (sector de neutrinos):

⇒ ¿Cuál es el origen de la
 masa de los neutrinos?

⇒ ¿Son los neutrinos
 partículas de Dirac o de
 Majorana?

¿Por qué hiperones?

- A diferencia de los decaimientos doble beta sin neutrinos en procesos nucleares, las desintegraciones de este tipo con hadrones permiten tener leptones distintos en el estado final ($e\mu$ y $\mu\mu$).
- Procesos complementarios a estudios con mesones y taus.
- BES-III, una ventana abierta a la física de hiperones.



- BESIII - Una fábrica de J/ψ y $\psi(2S)$ ($\sim 10^{10}$ eventos). \Rightarrow También trabaja como una fábrica de hiperones. ● Li, Hai-Bo, *Front.Phys* **12**, 121301, (2016)

Decay mode	Current data $\mathcal{B} (\times 10^{-6})$	Sensitivity $\mathcal{B} (90\% \text{ C.L.}) (\times 10^{-6})$
$\Sigma^- \rightarrow \Sigma^+ e^- e^-$	-	< 1.0
$\Sigma^- \rightarrow p e^- e^-$	-	< 0.6
$\Xi^- \rightarrow p e^- e^-$	-	< 0.4
$\Xi^- \rightarrow \Sigma^+ e^- e^-$	-	< 0.7
$\Omega^- \rightarrow \Sigma^+ e^- e^-$	-	< 15.0
$\Sigma^- \rightarrow p \mu^- \mu^-$	-	< 1.1
$\Xi^- \rightarrow p \mu^- \mu^-$	< 0.04	< 0.5
$\Omega^- \rightarrow \Sigma^+ \mu^- \mu^-$	-	< 17.0
$\Sigma^- \rightarrow p e^- \mu^-$	-	< 0.8
$\Xi^- \rightarrow p e^- \mu^-$	-	< 0.5
$\Xi^- \rightarrow \Sigma^+ e^- \mu^-$	-	< 0.8
$\Omega^- \rightarrow \Sigma^+ e^- \mu^-$	-	< 17.0

LNV

Type C

- PDG, HyperCP collaboration (2005)
 $BR(\Xi^- \rightarrow p \mu^- \mu^-) < 4.0 \times 10^{-8}$
- BESIII, *Phys. Rev. D* **103**, 052011, (2020)
 $BR(\Sigma^- \rightarrow p e^- e^-) < 6.7 \times 10^{-5}$

$$\Sigma^- \rightarrow n \pi^+ e^- e^-, \quad \Xi^- \rightarrow \Lambda \pi^+ e^- e^-,$$

$$\Lambda \rightarrow p \pi^+ e^- e^-, \quad \Sigma^- \rightarrow n \pi^+ e^- \mu^-.$$

Decay mode	Current data $\mathcal{B} (\times 10^{-6})$	Sensitivity $\mathcal{B} (90\% \text{ C.L.}) (\times 10^{-6})$	Type
$\Lambda \rightarrow n e^+ e^-$	-	< 0.8	
$\Sigma^+ \rightarrow p e^+ e^-$	< 7	< 0.4	
$\Xi^0 \rightarrow \Lambda e^+ e^-$	7.6 ± 0.6	< 1.2	
$\Xi^0 \rightarrow \Sigma^0 e^+ e^-$	-	< 1.3	EM-PENGUIN
$\Xi^- \rightarrow \Sigma^- e^+ e^-$	-	< 1.0	Type A
$\Omega^- \rightarrow \Xi^- e^+ e^-$	-	< 26.0	
$\Sigma^+ \rightarrow p \mu^+ \mu^-$	$(0.09^{+0.09}_{-0.08})$	< 0.4	
$\Omega^- \rightarrow \Xi^- \mu^+ \mu^-$	-	< 30.0	
$\Lambda \rightarrow n \nu \bar{\nu}$	-	< 0.3	
$\Sigma^+ \rightarrow p \nu \bar{\nu}$	-	< 0.4	
$\Xi^0 \rightarrow \Lambda \nu \bar{\nu}$	-	< 0.8	Z-PENGUIN
$\Xi^0 \rightarrow \Sigma^0 \nu \bar{\nu}$	-	< 0.9	Type B
$\Xi^- \rightarrow \Sigma^- \nu \bar{\nu}$	-	*	
$\Omega^- \rightarrow \Xi^- \nu \bar{\nu}$	-	< 26.0	

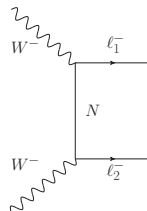
- AA, TH, SP and BZ, JHEP 05, 030 (2009)

El lagrangiano de corriente cargada con $(3+n)$ neutrinos en la base de masas definidas se escribe como:

$$\mathcal{L}_{cc} = -\frac{g}{\sqrt{2}} W_\mu^+ \sum_\ell \sum_{m=1}^{3+n} U_{\ell m}^* \bar{\nu}_m \gamma^\mu P_L \ell + \text{h.c.} \quad (1)$$

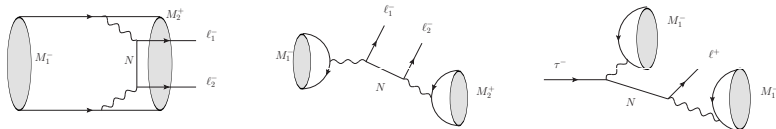
El kernel de los procesos $\Delta L = 2$ tales que $W^- W^- \rightarrow \ell_1^- \ell_2^-$ puede ser escrito como:

$$\mathcal{M}^{\mu\nu} = \frac{g^2}{2} \sum_{m=1}^{3+n} \frac{U_{\ell_1 m} U_{\ell_2 m} m_{\nu m}}{q^2 - m_{\nu m}^2 + i\Gamma_{\nu m} m_{\nu m}} (\bar{\ell}_1 \gamma^\mu \gamma^\nu P_R \ell_2^c) + \text{h.c.} .$$

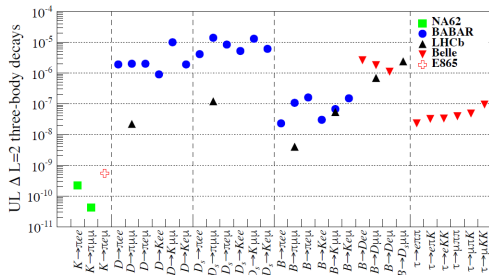


$$\mathcal{M}_{\Delta L=2}^{\ell_2 \ell_1} \propto \begin{cases} \sum_i U_{\ell_1 i} U_{\ell_2 i} m_{\nu_i} & \text{Neutrinos ligeros} \\ \sum_i \frac{U_{\ell_1 i} U_{\ell_2 i}}{m_{\nu_i}} & \text{Neutrinos pesados} \\ \sum_i \frac{U_{\ell_1 i} U_{\ell_2 i}}{\Gamma_{\nu_i}} & \text{Neutrinos resonantes} \end{cases} \quad (2)$$

Los efectos de neutrinos resonantes han sido extensamente estudiados en decaimientos $\Delta L = 2$ de mesones y taus • AA, TH, SP and BZ, JHEP 05, 030 (2009)

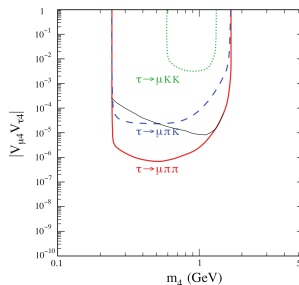
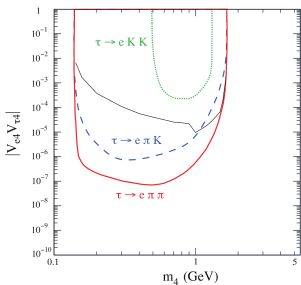
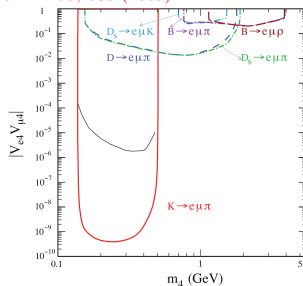
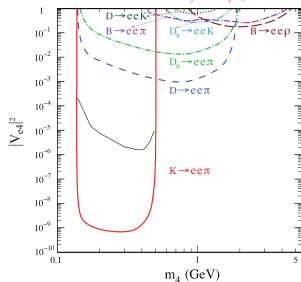


Donde las cotas experimentales para estos procesos a tres cuerpos son:

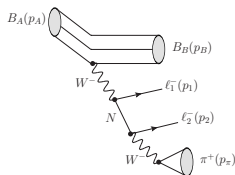


Primeros estudios en LNV para decaimientos de mesones y taus.

• AA, TH, SP and BZ, JHEP 05, 030 (2009)



$$B_A(p_A) \rightarrow B_B(p_B) \ell_1(p_1) \ell_2(p_2) \pi(p_\pi)$$



La amplitud se escribe como:

$$\mathcal{M}_1 = \left(\frac{G V_{\ell_1 N} V_{\ell_2 N} f_\pi m_N}{a_1 + i\Gamma_N m_N} \right) \ell_{\mu\nu}(p_1, p_2) H^\mu(p_B, p_A) p_\pi^\nu, \quad (3)$$

donde $a_1 \equiv (p_\pi + p_2)^2 - m_N^2$ y $G = G_F^2 V_{ud} V_{us}$. Aquí definimos

$$\begin{aligned} \ell_{\mu\nu}(p_1, p_2) &\equiv \bar{u}(p_1) \gamma_\mu \gamma_\nu (1 + \gamma_5) v(p_2), \\ H^\mu(p_B, p_A) &\equiv \langle B_B(p_B) | J_\mu | B_A(p_A) \rangle. \end{aligned} \quad (4)$$

El elemento de matriz hadrónico puede ser determinado a partir de transiciones del tipo $B_A \rightarrow B_B \ell \bar{\nu}_\ell$ tal que tomamos la parametrización:

Una muy buena aproximación:

$$\langle B_B(p_B) | J_\mu | B_A(p_A) \rangle = \bar{u}(p_B) \gamma_\mu [f_1(q^2) + g_1(q^2) \gamma_5] u(p_A),$$

donde tomamos la parametrización:

$$\{f, g\}(q^2) = \{f, g\}(0) \left(1 - \frac{q^2}{m_{d\{f,g\}}^2}\right)^{-2}$$

Es claro que también tenemos un segundo diagrama bajo el intercambio $\ell_1(p_1) \leftrightarrow \ell_2(p_2)$ con una resonancia en $a_2 \equiv (p_\pi + p_1)^2 - m_N^2 \approx 0$ si $m_\pi + m_1 < m_N < m_A - m_B - m_2$.

$$\begin{aligned} \Sigma^- &\rightarrow n\pi^+ e^- e^-, & \Xi^- &\rightarrow \Lambda\pi^+ e^- e^-, \\ \Lambda &\rightarrow p\pi^+ e^- e^-, & \Sigma^- &\rightarrow n\pi^+ e^- \mu^-. \end{aligned}$$

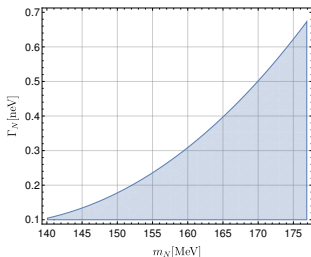
Ahora, tomando

$$\Gamma_N = \sum_i \Gamma_i^{\text{p.w.}} \cdot \theta(m_N - \sum_j m_j), \quad (5)$$

- AA, TH, SP and BZ, JHEP 05, 030 (2009)

se puede probar que $\Gamma_N \ll m_N$ y por tanto usar la “narrow width approximation”

$$\frac{1}{(s_{2\pi} - m_N^2)^2 + m_N^2 \Gamma_N^2} \rightarrow \frac{\pi}{m_N \Gamma_N} \delta(s_{2\pi} - m_N^2) \quad (6)$$



Usando el método “Single-Diagram-Enhanced multi-channel integration method”. • **FM and TS, JHEP 02 (2003),027**

$$\Gamma_{BA \rightarrow BB \ell_1^- \ell_2^- \pi^+} = \frac{N}{4(4\pi)^6 m_A^3} \left[\int f_{PS_1} dPS_1 + \int f_{PS_2} dPS_2 \right], \quad (7)$$

definiendo

$$f_{PS_1} = \frac{|\overline{\mathcal{M}}_1|^2}{|\overline{\mathcal{M}}_1|^2 + |\overline{\mathcal{M}}_2|^2} |\overline{\mathcal{M}}|^2, \quad f_{PS_2} = \frac{|\overline{\mathcal{M}}_2|^2}{|\overline{\mathcal{M}}_1|^2 + |\overline{\mathcal{M}}_2|^2} |\overline{\mathcal{M}}|^2. \quad (8)$$

después de calcular eq.(8) usando eq.(3) tenemos:

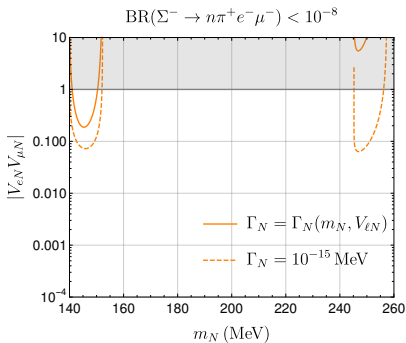
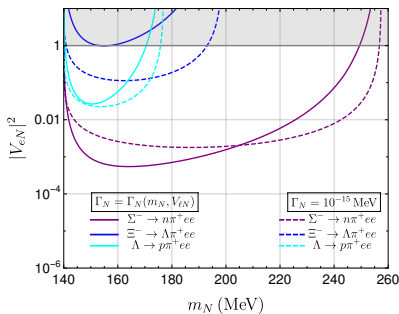
$$f_{PS_1} = \frac{(G V_{\ell_1 N} V_{\ell_2 N} f_\pi m_N)^2 A}{a_1^2 + \Gamma_N^2 m_N^2} \left[1 + 2 \frac{(a_1 a_2 + \Gamma_N^2 m_N^2) C_1 + (a_2 - a_1) \Gamma_N m_N C_2}{(a_2^2 + \Gamma_N^2 m_N^2) A + (a_1^2 + \Gamma_N^2 m_N^2) B} \right], \quad (9)$$

$$f_{PS_2} = f_{PS_1} (p_1 \leftrightarrow p_2), \quad (10)$$

$$\int f_{PS_1} dPS_1 = \frac{\pi(GV_{\ell_1 N}V_{\ell_2 N}f_\pi m_N)^2}{\Gamma_N m_N} \int X\beta_{B1}\beta_{2\pi} \times \left[A \left(1 + 2 \frac{\Gamma_N^2 m_N^2 C_1 + \Gamma_N m_N a_2 C_2}{(a_2^2 + \Gamma_N^2 m_N^2)A + \Gamma_N^2 m_N^2 B} \right) \right] ds_{B1} d\cos\theta_B d\cos\theta_2 d\phi, \quad (11)$$

con los siguientes límites de integración:

$$\begin{aligned} (m_B + m_1)^2 \leq s_{B1} \leq (m_A - m_2 - m_\pi)^2, & \quad -1 \leq \cos\theta_B \leq 1, \\ -1 \leq \cos\theta_2 \leq 1, & \quad -\pi \leq \phi \leq \pi. \end{aligned} \quad (12)$$



- Mostramos los límites que se obtendrían de estos decaimientos a cuatro cuerpos de hiperones para los parámetros de mezcla del nuevo estado pesado como función de su masa.
- Nuestros resultados son comparables con las cotas para $|V_{eN}|^2$ que vienen de desintegraciones de mesones pesados (D y B) pero lejos de las que se obtienen de kaones.
- Nuestro trabajo motiva la búsqueda de este tipo de procesos en fábrica de hiperones como BES-III, siendo estos los primeros límites directos para las mezclas a partir de estos observables a cuatro cuerpos en hiperones.

¡Gracias!

Back up

Comparación con la “narrow width approximation” usual

For the case $\ell_1 = \ell_2$:

$$\text{BR}(B_A \rightarrow B_B \ell_1^- \ell_2^- \pi^+) = \text{BR}(B_A \rightarrow B_B \ell_1^- N) \times \Gamma(N \rightarrow \ell_2^- \pi^+) \tau_N / h, \quad (13)$$

where

$$\Gamma(N \rightarrow \ell_2^- \pi^+) = \frac{G_F^2}{16\pi} |V_{ud}|^2 |V_{\ell_2 N}|^2 f_\pi^2 m_N \lambda^{\frac{1}{2}} \left(m_N^2, m_{\ell_2}^2, m_\pi^2 \right) \left[(1 - x_{\ell_2})^2 - x_\pi (1 + x_{\ell_2}) \right],$$

and

$$\text{BR}(B_A \rightarrow B_B \ell_1^- N) = \frac{G_F^2 |V_{us}|^2 |V_{\ell_1 N}|^2}{64\pi^3 m_A^3 \Gamma_{B_A}} \int_{s_{1B_{\min}}}^{s_{1B_{\max}}} \int_{s_{1N_{\min}}}^{s_{1N_{\max}}} \mathcal{F}(s_{1B}, s_{1N}) ds_{1N} ds_{1B}, \quad (14)$$

$$\begin{aligned} \mathcal{F} = & 2m_A m_B (s_{1N} - m_N^2 - m_1^2) \left[\kappa^+(s_{1N}) \kappa^-(s_{1N}) \right] \\ & + (s_{1B} - m_B^2 - m_1^2) (m_A^2 + m_N^2 - s_{1B}) \left[\kappa^-(s_{1N}) \right]^2 \\ & + (m_1^2 + m_A^2 - s) (s - m_N^2 - m_B^2) \left[\kappa^+(s_{1N}) \right]^2, \end{aligned}$$

with $\kappa^\pm(s_{1N}) = g_1(s_{1N}) \pm f_1(s_{1N})$ and $s = s_{1B} + s_{1N}$.

